

# 由脊髓灰白質炎病人糞便分離出一株 科賽奇病毒(Coxsackie virus)\*

宋干林毓純王衛文

(中国医学科学院微生物学系病毒室、病理室)

自从 1947 年 Dalldorf 与 Sickles 二氏<sup>[1]</sup> 由两个麻痹型的脊髓灰白質炎病人的糞便中分离到科賽奇病毒后，此类新的病原族的存在即引起医学界日益增多的注意。近年来不但在世界上许多地方找到此类病毒，而且也查出它们可能同脊髓灰白質炎、疱疹性咽峡炎(Herpangina)、流行性胸壁痛(Epidemic pleurodynia)、無菌腦膜炎(Aseptic meningitis)、夏季感冒(Summer grippe)以及一些病原未明的輕性热症的病原問題有关<sup>[2]</sup>。其中特別是疱疹性咽峡炎和流行性胸壁痛，已經証明是分別由甲族及乙族的科賽奇病毒所引起<sup>[3]</sup>。

这一类病原体，在我国尚未見到报告。1952 年 8 月作者曾由脊髓灰白質炎病人的糞便中分离出一株病毒，初步的动物試驗及病理組織學檢查，証明是一株具有甲族科賽奇病毒特性的病毒。本文將对此病毒所作的一些實驗結果作一簡單介紹，为今后有关此类問題的研究工作提供参考資料。

## 實驗及結果

### (一) 病毒的分离

为了分离病毒，共从兒童医院的 4 例住院病人(临床診斷均为脊髓灰白質炎)采取了糞便标本，糞便于采集后保存于普通冰箱內，在采集后第 3 天分別接种动物，其方法如下：將糞便于無菌的乳鉢內加上适量的生理鹽水研碎，使成 10% 的悬液。以后，經過低速离心沉淀，取其上層液体加入青霉素(每毫升約 1,000 單位)及鏈霉素(每毫升約 500 單位)，放在冰箱內經過 3—4 小时，然后取出接种动物。所用动物均为本院飼养的生后 5 天的小白鼠，每份标本接种一窩(5—6 只)，均用腹腔內注射，每只 0.1 毫升。接种后每天至少觀察兩次，結果見表 1。

\* 1956 年 4 月 3 日收到。

表1 由脊髓灰白質炎病人糞便分離病毒之結果

病 例 号	病 人 年 龄 (岁)	病 人 患 病 日 數	接 种 物 細 菌 培 养	鼠 齡 (天)	鼠 数 (只)	接 种 途 徑	潜 伏 期 (每只)	主 要 症 狀
1	2	15	+	5	5*	腹 腔	5,5,5	兩后肢弛張性麻痹
2	2	6	+	5	5	腹 腔	未發病	無
3	1	10	-	5	5	腹 腔	未發病	無
4	7	9	-	5	6**	腹 腔	6,6,6,6,6	兩后肢弛張性麻痹

注:

\* 接种动物有两只为母鼠吃掉, 未吃之3只均发病, 其中两只于接种第9日杀死, 一只传代, 一只做病理剖解, 剩下的一只逐渐完全恢复。

\*\* 6只接种动物均发病, 于接种第9日杀死两只, 一只传代, 一只做病理剖解, 未杀死的4只动物均逐渐完全恢复。

4例标本中, 只有两例子接种动物后引起症状(另两例接种之动物于观察3周后, 未见发病, 即行弃去)。第1例标本于接种后第5天, 动物开始表现后肢麻痹。继续观察到第9天, 取其中症状表现最重的两只, 一只杀死, 取其脑、脊髓及大腿肌肉分别制成悬液(10%), 经用抗生素处理后, 各用生后五天的小白鼠一窝(6只)施行腹腔内接种; 另一只做病理检查, 其组织学改变符合于甲族科赛奇病毒在小鼠引起的病变。但此例第二代所接种的两窝小白鼠在3周的观察期中均未表现任何特异性症状。以后, 对此例即未再进行研究。第4例标本所接种的小白鼠, 均于第6天出现轻重不等的后肢弛张性麻痹。到第9天, 取出症状较重的两只, 一只传代, 一只作病理检查。第二代所接种的动物均于第5天发病, 此例的病原体曾经过以下的初步实验观察及病理组织学检查。

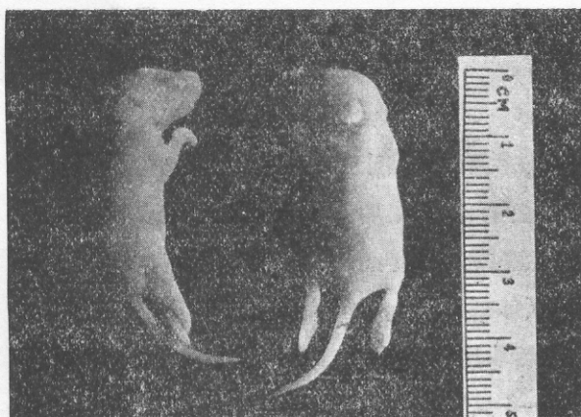


圖1 生后4天未断奶小白鼠, 腹内接种病毒(第15代)发病后, 两后肢呈掌面朝上, 完全伸直性麻痹, 前肢腕关节下垂。同时, 可以看到臀部肌肉消瘦而变扁平。

## (二) 受感染小白鼠症状的观察

在将分离出的病毒用未断奶小白鼠进行各项传染试验时, 观察到受染动物一般均有典型的症状, 最后发生麻痹。小白鼠最初表现轻度的平衡失调, 每次吃奶时间缩短, 以后, 两后肢由软弱而逐渐变为弛张性麻痹, 臀部肌肉迅速消瘦, 呈扁平状或稍凹陷。前肢则较少发生麻痹。小白鼠多于麻痹症状出现后24—48小时内死亡。小白鼠于受传

染后表現的症狀由於年齡的差異有所不同。譬如年齡在1周以內的小白鼠麻痺後兩後肢均伸直，掌面上翻（圖1）；年齡在一週以上，特別是兩周左右的小白鼠，發病以後，後肢往往呈大腿伸直，小腿曲起的姿式（圖2、3）。年齡達3周的小白鼠，在受傳染後多數也發病，但往往症狀輕，而且並不完全死亡（見表2）。

### （三）病毒連續在小白鼠傳代時潛伏期的觀察

于生後3—5天的未斷奶小白鼠腹腔內接種病毒懸液（10%），每只0.035—0.05毫升。每次均接種有5—6只動物的小鼠一窩。用以觀察潛伏期的長短，結果發現每代動物的潛伏期在最初五代是逐代縮短的，平均第一代為6天，第二代為5天，第三代為3天，第四代為2天，第六代以後潛伏期已穩定為1—2天。

### （四）鼠齡及感染途徑對於動物易感性的影响

用第六代小鼠腦病毒10%生理鹽水懸液分別接種於不同年齡的小白鼠的腦內，又用第五代小鼠腿肌肉病毒10%生理鹽水懸液分別在不同年齡的小白鼠作腹腔接種，觀察兩周，結果（見表2）發現不論腦內接種或腹腔接種，動物感染後的潛伏期都表現隨年齡增加而延長。但腦內接種時年齡3周以上的小白鼠均未發病，腹腔內接種時則年齡5周以下的動物全發病。

### （五）不同實驗動物對新分離病毒的易感性

除小白鼠外，曾用田鼠、巨形田鼠、幼齡家兔及幼齡海豬做傳染試驗。試驗均用患病的未斷奶的小鼠腿肌病毒懸液（10%）並均由腹腔接種。除小白鼠外，所有接種的動



圖2 生後7天未斷奶小白鼠，腦內接種病毒（第15代）發病後，兩後肢呈大腿伸直，小腿屈的麻痺症狀。其前肢也因部分麻痺呈伸張姿式。



圖3 生後14天未斷奶小白鼠，腦內接種病毒（第15代）發病後，兩後肢呈大腿伸直，小腿屈的麻痺症狀。

表2 鼠龄及感染途径与动物对病毒易感性的关系

試驗組別	鼠齡(天)	鼠數(只)	病毒代數	接种途徑	接种劑量 (毫升) (10%懸液)	潛伏期	動物転歸
I	3	5	6代(腦)	腦內	0.02	1,2,2,2,2	均于發病后1—2日內死亡
	6	6	6代(腦)	腦內	0.02	3,3,3,3,3,4	同上
	10	4	6代(腦)	腦內	0.03	3,3,4,4	同上
	14	4	6代(腦)	腦內	0.03	4,5,5,5	同上
	21	6	6代(腦)	腦內	0.03	未發病	—
	35	8	6代(腦)	腦內	0.04	未發病	—
II	3	5	5代(肌)	腹腔	0.035	1,2,2,2,2	均于發病后1—2天內死亡
	6	5	5代(肌)	腹腔	0.045	2,2,2,2,2	同上
	10	5	5代(肌)	腹腔	0.060	2,2,2,2,3	同上
	14	5	5代(肌)	腹腔	0.070	3,3,3,3,3	同上
	21	5	5代(肌)	腹腔	0.090	4,4,4,4,4	發病第4及第6天各死1只余均恢復
	35	4	5代(肌)	腹腔	0.100	4,5,5,5	發病第7,8,22天各死1只另1只恢復

物都未表現任何症狀。

#### (六) 病理組織學檢查的結果

科賽奇病毒于未斷奶的小白鼠引起極為典型的病理變化，這種病理變化特點會被用來作為鑑別病毒及病毒分類的根據。為了證明此次所分離病毒和它的類型，作者曾對第1例及第4例標本接種第一代發病的小白鼠作了病理檢查。

兩例病鼠的所有內臟均無明顯肉眼可見之病變。取出其腦、脊髓、四肢及頸部肌肉、脂肪組織、心、肺、腎、肝及脾等組織於10%的福爾馬林溶液中固定。腦及脊髓用火棉膠包埋，其他器官組織則用石蠟包埋。所有切片都用蘇木精-伊紅染色。腦及脊髓切片並用甲苯胺藍染色。

兩例小白鼠的病理組織變化基本上是相同的。其中以骨骼肌的變化最顯明。在所有檢查過的每一骨骼肌(頸部、背部、臀部、四肢)標本中，大部分都表現有病變。這些病變的特點是：肌纖維分段發生變化，即同一肌纖維中可看到正常及有病變的段節同時存在。在肌肉標本內，同時可以看到肌纖維變性、壞死、炎症性反應、吞噬現象、肌鞘管形成和肌纖維再生等各階段的變化。

肌肉的病理形態學的改變是：

(1) 肌纖維的斷節變性 (segmental degeneration)：橫紋肌纖維的變化如典型的

岑克氏變性(Zenker's degeneration)。病變的初期，肌纖維部分彼此融合、膨脹，肌纖維的縱橫紋變得更加明顯(圖4)。其後，肌纖維折皺如波浪形，且折斷成塊(圖5)。此時肌纖維更加膨脹、融合、失去縱橫紋而成同質化(圖6)。此時肌纖維核內的數目偶見增多，形狀不規則，或成固縮狀態。

(2) 肌纖維的玻璃樣變性及壞死：同質化和玻璃樣的肌纖維分段的染成紅色或紫蘭色，與完整的肌鞘分開。後來玻璃樣的肌纖維段節碎裂而形成小塊(圖6)。

(3) 肌纖維的炎症反應及吞噬現象：上述玻璃樣變性的肌纖維呈現有炎症反應及吞噬現象，亦即在完整的肌鞘內出現了多形核白血球及單核細胞，而破碎的壞死肌纖維小塊逐漸為浸潤的細胞所吞噬和吸收。這些肌纖維周圍的間質內發生了水腫、充血，并有炎症細胞的浸潤(圖7,8,9)。

(4) 空肌鞘管的形成：在肌纖維小塊被吞噬吸收處形成空的肌鞘管(圖8)。管腔較正常纖維為窄，管壁增厚，管內充滿許多增生的肌鞘細胞，于此可見細胞核的增多。在有的肌鞘管內填充了密集而排列成行的細胞核的、嗜鹼性的原始母細胞漿帶(圖10)。

(5) 肌纖維的再生：上述原始母細胞漿帶的形成標志着肌纖維的再生。在再生的過程中，可見核增大而明亮，核間距離逐漸加寬，胞漿嗜鹼性減少(圖10,11)。核間的胞漿時有顯示橫紋，而核的兩側可見縱紋。但在所有的標本中，尚未見到寬度及形狀完全與正常相同的再生的纖維。肌肉內的末梢神經纖維有的彎曲而粗細不均，鞘內有少數白血球浸潤，神經鞘是完整的。

在脂肪組織中，可見許多脂肪細胞的胞漿中有紅色顆粒及小圓泡，及核固縮的脂肪細胞。在部分的脂肪組織內，有淋巴細胞及少數白血球的浸潤。心肌、肝、肺及脾臟內

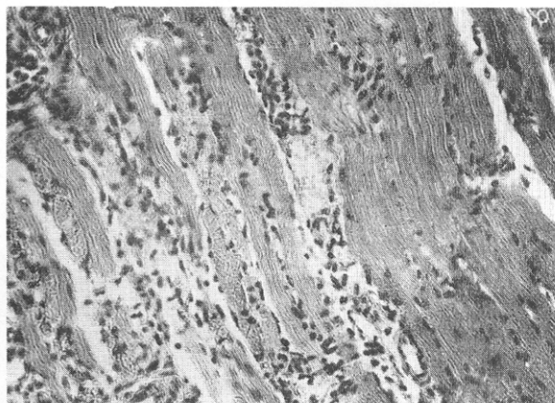


圖4 骨骼肌纖維紋理特別明顯。間質有炎症細胞浸潤。  
×200

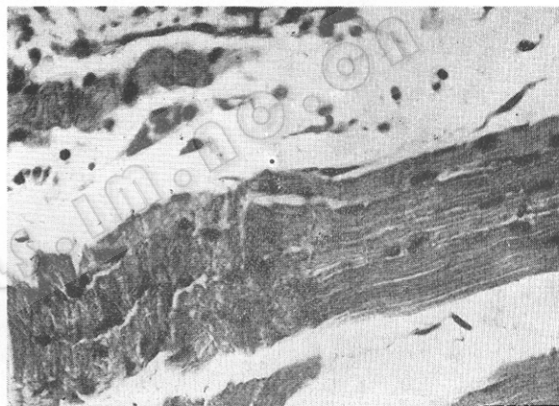


圖5 肌纖維的一段折皺及斷碎。×390

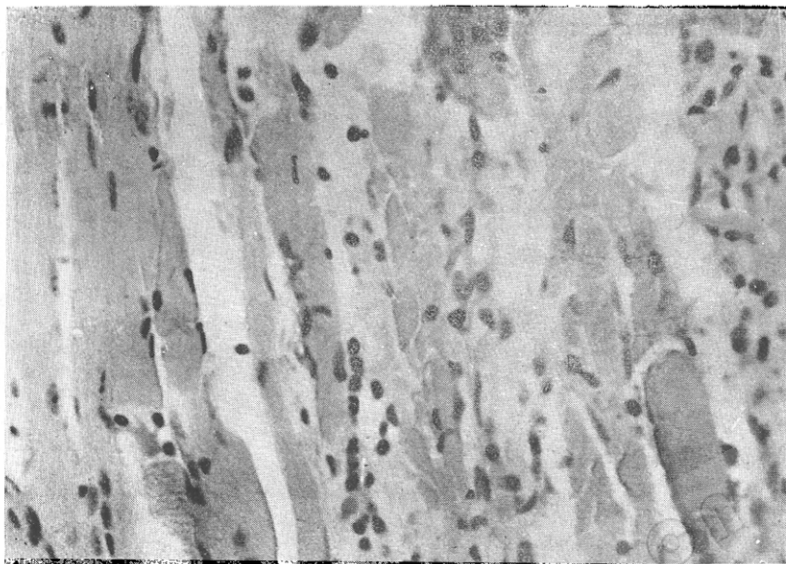


圖 6 圖中部肌纖維呈玻璃样变性。 $\times 390$

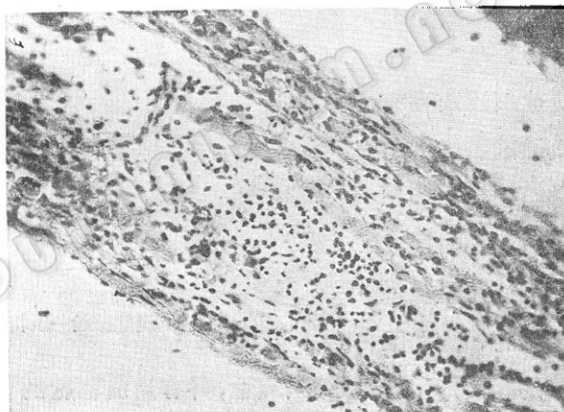


圖 7 肌纖維間强度炎症細胞浸潤。坏死纖維小塊为浸潤細胞吞噬吸收。 $\times 220$

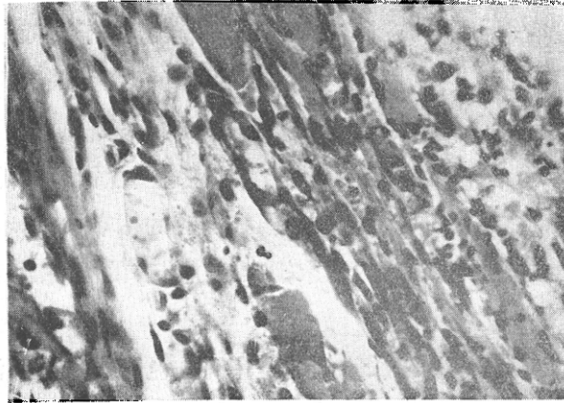
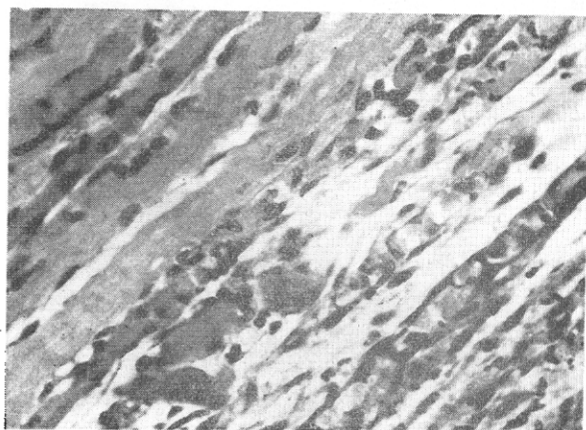
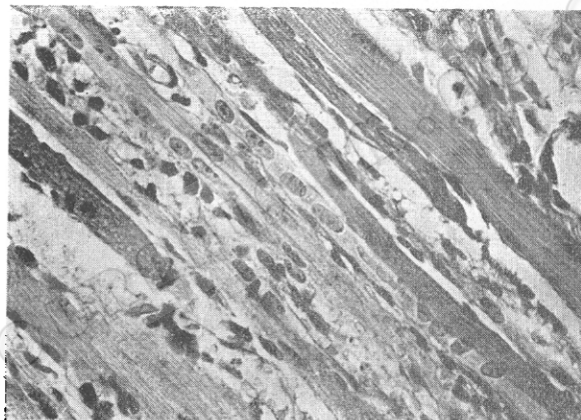
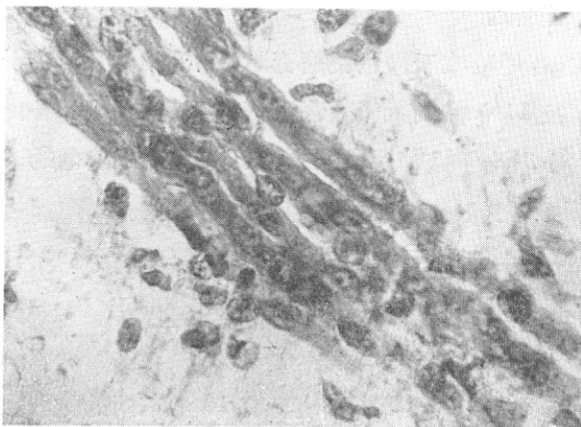


圖 8 空肌鞘管形成(右下方)。 $\times 390$

圖 9 空肌鞘管形成。 $\times 390$ 圖 10 再生的原始胞漿帶。 $\times 450$ 圖 11 再生的肌纖維核較多而肥大，胞漿內隱約有縱橫紋。 $\times 810$

均無显著的改变。

在中樞神經系統，可見大腦的腦膜有增厚及散在性淋巴細胞和白血球浸潤灶。大腦皮層、小腦神經核及脊髓前角僅見核聚合 (Satellitosis) 現象，而無任何其他改變，特別未見脊髓灰白質炎所具有的脊髓前角炎症性變化和神經細胞的變性和壞死。在第 1 例小鼠的大腦皮質內曾見到微小的軟化灶。血管周圍偶見淋巴球浸潤。

由上述的病理組織改變可以看到，兩只小鼠都有嚴重的全身性骨骼肌的段節性變性及壞死，急性間質性肌炎、肌纖維再生、脂肪組織輕度炎症反應、腦及脊髓內核聚合、輕度的軟腦膜炎，以及局限性的腦軟化。這些病變都符合于科賽奇病毒在未斷奶的小鼠所致的病理變化。

在骨骼肌病變中，第 1 例的小鼠以再生現象較為普遍，第 4 例的小鼠則以變性、壞死及炎症反應為主。中樞神經系統的病變以第 1 例的小鼠較顯著，在第 4 例的小鼠則極為輕微。

根據病理組織檢查結果，第 1 例及第 4 例的小白鼠骨骼肌有嚴重變性及再生，而中樞神經系統變化輕微，與甲族科賽奇病毒在未斷奶小白鼠所引起的病變相符。由於未剖檢的小白鼠發病過程，四肢肌肉瘦削和死亡情形均與剖驗動物類似，而剖驗動物的病變是典型而明顯的，所以可將引起此類病變的病原體歸之于甲族科賽奇病毒族。

### (七) 其他試驗

(1) 濾過試驗：使新分離的病毒(小鼠腿肌 10% 的懸液)通過塞氏(Seitz)濾器，用濾過液接種小白鼠。如此感染之動物，其潛伏期較用未濾過之病毒懸液接種的動物稍見延長，但其發病仍然是非常明顯，而死亡也是有規律的。

(2) 細菌培養試驗：曾先後數次用厭氣及需氣細菌培養法檢查受感染後患病小鼠腿肌病毒懸液，結果為陰性。

(3) 干燥保存試驗：用冷凍干燥法使病毒懸液干燥，然後保存於普通冰箱內。以後同時將保存了 8 個月及 11 個月兩批干燥病毒管打開制為懸液，各由腹腔接種生後 7 天的小白鼠一窩。兩窩小鼠均於接種後第 4—5 天發病，呈現典型的肢體麻痺症狀，並且繼於發病後 1—2 天內死亡(未作病理檢查)。

(4) 病毒的滴定：用生後 4 天的小白鼠滴定病毒，其滴度(50% 致死量)為  $10^{-8.2}$ 。

## 討 論

據文獻<sup>[2]</sup>報告，目前已發現的科賽奇病毒有 16 個不同的抗原類型(甲族 11 個，乙族 5 個)而根據 Dalldorf 氏的分類法<sup>[3]</sup>，科賽奇病毒由其在實驗動物所引起的病理改變

的不同分为甲族及乙族。甲族病毒使未断奶的小白鼠产生全身性肌炎，并表現有明显的肢体麻痹症状，而乙族病毒则仅引起局限性的肌炎；同时引起腦炎及肩胛間脂肪垫坏死等病变。据最近文献的报告<sup>[4]</sup>，另外可能有第三类的科賽奇病毒，即只使未断奶的小白鼠产生腦炎的病毒株。

本文所报告的一株病毒，未能用血清学的方法确定其所屬的抗原类型。但是，此病毒使未断奶的小白鼠發生显著的肢体麻痹症状，产生全身性骨骼肌病理改变，同时在其中樞神經系統及內臟器官方面的病理改变很少，所有这些都是符合于上述甲族科賽奇病毒的特征的。

繼續分离这类病毒并进一步研究它們与某些疾病病人之間的关系和居民对他們的免疫情况無疑地是十分需要的。这种研究对于进一步阐明脊髓灰白質炎的病原，对于流行性乙型腦炎輕症及非典型病例的鉴别診斷，以及对于其他病原来被闡明的热性疾病的研究都將有所帮助。

特別值得注意的是这类病毒和流行性乙型腦炎的关系。近年来在流行性乙型腦炎的广泛調查研究中，各地都曾發現一些輕度及無典型症狀的疑似腦炎患者。他們除了有發燒及腦脊髓液的改变以外，往往沒有腦炎的其他特征性表現。这些症狀（發燒及同样的腦脊髓液改变）在某些被科賽奇病毒感染的病人中也常發現<sup>[2]</sup>。同时科賽奇病毒傳染又同样是在夏秋間出現<sup>[2]</sup>。因此在流行的季节假如有多數科賽奇病毒傳染在居民中出現，就可能影响到流行性乙型腦炎的診斷及其疫情統計資料的准确性。近年在北京利用补体結合試驗法檢查大量的疑似流行性乙型腦炎病人的血清<sup>[5-6]</sup>，就曾發現不少例陰性反应（有些是經過重复檢查的）。根据上述情况，在考慮这类病例的病原學問題时，科賽奇病毒族似乎也应为被考虑的因素之一。

## 總 結

(1) 由 4 例临床診断为脊髓灰白質炎的兒童患者中一例的糞便标本分離出一株科賽奇病毒(Coxsakie virus)，根据一些實驗室的觀察和病理組織学檢查的結果，都符合于甲族科賽奇病毒的特征性表現。

(2) 由于科賽奇病毒可在人体引起伴有腦脊髓液細胞增多的热症，其流行季节又在每年夏秋間，正是流行性乙型腦炎的流行期。所以这类病毒的研究对輕型及非典型流行性乙型腦炎的鉴别診斷上將有一定的意义。

## 参 考 文 献

- [1] Dalldorf, G., Sickles, G. M., Plager, H. and Gifford, R.: *J. Exp. Med.* **89**: 587, 1949.
- [2] Tobin, J. O. H.: *Brit. Med. Bull.*, **9**: 201, 1953.
- [3] Dalldorf, G.: *Bull. N. Y. Acad. Med.*, **26**: 329, 1950.
- [4] Stanley, N. F., Dorman, P. C. and Pansford, T.: *Aust. Exp. Biol. and Med. Sci.* **31**: 31, 1953.
- [5] 宋干、周明先、沈中: 中华医学杂志, **37**: 287, 1951.
- [6] 宋干、周明先、關世雄、黃賴祥: 中华医学杂志, **38**: 1033, 1952.

## ISOLATION OF A COXSACKIE VIRUS FROM THE STOOL OF A CASE OF POLIOMYELITIS

SUNG KAN, LING YU-CHENG AND WANG HENG-WEN

*Division of Virology and Pathology, National Hygiene Institute, Peking*

Since the first isolation of a new type of virus from the stool of 2 cases of poliomyelitis by Dalldorf and Sickles in 1947, the now well-known Coxsackie virus has been isolated all over the world, and the virus has been implicated in the etiology of poliomyelitis, herpangina, epidemic pleurodyna, aseptic meningitis, summer grippe and of certain other minor ailments of unknown etiology.

The present report deals with an isolation and identification of one strain of the virus after 4 attempts at examination of stools of cases of poliomyelitis. After careful experimental observations and histological studies of the experimental materials, it was concluded that this strain belonged to type A of the virus. The possibility of its being confused with the locally prevalent encephalitis virus is stressed.